

MODELAGEM DA EVOLUÇÃO DO DANO ORTOTRÓPICO ACOPLADO À ELASTOPLASTICIDADE EM METAIS

Andresa Freitas, Paulo de Tarso R. de Mendonça, Clovis Sperb de Barcellos

*Grupo de Análise e Projeto Mecânico - GRANTE, departamento de Engenharia Mecânica,
Universidade Federal de Santa Catarina, 88040-900, Florianópolis, SC, Brasil,
<http://www.grante.ufsc.br>*

Palavras Chave: dano anisotrópico, mecânica do dano, elastoplasticidade, Método dos Elementos Finitos.

Resumo. Neste trabalho estuda-se um modelo de dano dúctil tridimensional baseado nos princípios da mecânica do contínuo, na hipótese de equivalência de deformação e no conceito de tensão efetiva, com base numa metodologia fundamentada na termodinâmica dos processos irreversíveis. Faz-se o acoplamento das teorias de elastoplasticidade e dano (modelo de Lemaitre) a fim de realizar uma simulação numérica da evolução do dano em estruturas, via Método dos Elementos Finitos (MEF). Postulados da mecânica do dano em meio contínuo foram utilizados buscando-se incorporar o dano como uma variável interna. Primeiramente utiliza-se uma variável de dano escalar isotrópica e posteriormente introduz-se a anisotropia na distribuição das micro-trincas, através do dano ortotrópico, representado por um tensor simétrico de segunda ordem. O código computacional desenvolvido é baseado no MEF e no modelo constitutivo de Lemaitre adaptado para materiais metálicos, considerando-se um comportamento isotrópico do material, com encruamento isotrópico linear e critério de plastificação de von Misses. O algoritmo numérico correspondente à integração das equações constitutivas é baseado em uma etapa de previsão (estado elástico teste) e uma etapa de correção (estado corretor plástico/dano), sendo que a implementação da simulação numérica é realizada com a utilização do programa MATLAB®. Apresentam-se o algoritmo de integração e mapeamento de retorno baseado no modelo constitutivo mencionado acima, bem como os resultados da análise, onde se realizam simulações que mostram a influência de alguns parâmetros de dano na evolução do dano ortotrópico.

1 INTRODUÇÃO

Uma das principais metas da ciência de engenharia com relação a um projeto mecânico é analisar e se possível, prever a falha de um componente. Para o caso de fratura (dúctil ou frágil), esta análise se baseia na investigação da existência de micro-trincas (Lemaitre, 1996), representando o dano, que é uma deterioração do material e ocorre antes da falha. Desta forma, o enfoque é dado na evolução do dano interno antes que ele seja visível macroscopicamente na forma de trincas ou fraturas.

A Mecânica do Dano em Meio Contínuo (MDC) representa uma abordagem local de detecção da falha, sendo considerada uma das ferramentas mais promissoras para prever a iniciação e a propagação da macro-trinca (Doghri, 1995), tratando o material danificado como macroscopicamente homogêneo (Chaboche, 1981).

O objetivo deste trabalho é acoplar as teorias de plasticidade e dano a fim de realizar uma simulação numérica, via Método dos Elementos Finitos (MEF), da evolução do dano em estruturas submetidas à carga uniforme, considerando-se apenas a cinemática de pequenos deslocamentos e pequenas deformações. Além disso, pretende-se identificar a influência de alguns parâmetros de dano na evolução do dano ortotrópico.

As rotinas desenvolvidas são adequadas a metais, para um material de comportamento isotrópico e encruamento isotrópico linear. A implementação da simulação numérica foi realizada com a utilização do programa MATLAB[®] 7.6.0.

Com relação ao dano, primeiramente faz-se referência ao dano isotrópico e posteriormente introduz-se a anisotropia na distribuição das micro-trincas, através do dano ortotrópico. A importância deste tipo de dano está em situações onde, por exemplo, dois ou mais carregamentos altamente direcionais são aplicados sequencialmente. Nestes casos, cada carregamento causará o crescimento de micro-trincas em uma direção preferencial, afetando a resposta do material para carregamentos posteriores em direções diferentes. Neste sentido, a hipótese usual de isotropia pode oferecer uma boa primeira aproximação, mas pode apresentar erros substanciais em muitas aplicações práticas (Souza Neto et al. 2008).

2 PLASTICIDADE

A seguir serão apresentadas as equações que governam a plasticidade clássica no contexto tridimensional, considerando-se as referências Chen e Han (1988), Simo e Hughes (1998) e Souza Neto et al. (2008).

Este estudo é motivado pelo modelo unidimensional, considerando-se o escoamento plástico como um processo irreversível e caracterizado em termos da história das seguintes variáveis independentes: o tensor de deformação $\boldsymbol{\varepsilon}$, o tensor de deformação plástica $\boldsymbol{\varepsilon}^p$ e a variável interna de encruamento α . Aqui será enfatizado o modelo com encruamento isotrópico linear. A generalização do modelo unidimensional para o caso tridimensional é apresentada a seguir:

1) A decomposição aditiva do tensor deformação total assume a seguinte forma:

$$\boldsymbol{\varepsilon} = \boldsymbol{\varepsilon}^e + \boldsymbol{\varepsilon}^p, \text{ isto é } \varepsilon_{ij} = \varepsilon_{ij}^e + \varepsilon_{ij}^p \quad (1)$$

que pode representar o tensor deformação elástica como $\boldsymbol{\varepsilon}^e = \boldsymbol{\varepsilon} - \boldsymbol{\varepsilon}^p$.

2) O tensor tensão $\boldsymbol{\sigma}$ está relacionado com a deformação elástica da seguinte maneira:

$$\boldsymbol{\sigma} = \mathbf{C} : [\boldsymbol{\varepsilon} - \boldsymbol{\varepsilon}^p], \text{ isto é } \sigma_{ij} = C_{ijkl} : \varepsilon_{kl}^e \quad (2)$$

onde \mathbf{C} é o tensor de módulo elástico, um tensor constitutivo linear de quarta ordem

constante:

$$\mathbf{C} = \lambda \mathbf{I} \otimes \mathbf{I} + 2\mu \mathbf{II} = 2\mu \left(\mathbf{II} - \frac{1}{3} \mathbf{I} \otimes \mathbf{I} \right) + \kappa \mathbf{I} \otimes \mathbf{I} \quad (3)$$

onde

$$\mathbf{I} = \delta_{ij} e_i \otimes e_j \quad (4)$$

é o tensor identidade de segunda-ordem e

$$\mathbf{II} = \frac{1}{2} \left[\delta_{ik} \delta_{jl} + \delta_{il} \delta_{jk} \right] e_i \otimes e_j \otimes e_k \otimes e_l \quad (5)$$

é o tensor identidade simétrico de quarta-ordem, sendo δ_{ij} o delta de Kronecker, κ o módulo volumétrico e λ e μ as constantes de Lamé, relacionadas ao módulo de elasticidade longitudinal E e ao coeficiente elástico de Poisson ν .

3) A condição de escoamento é definida como uma função $f: S \times \mathfrak{R} \rightarrow \mathfrak{R}$ e os estados admissíveis $\{\boldsymbol{\sigma}, q\} \in S \times \mathfrak{R}$ são restringidos ao espaço de tensões sobre o conjunto E_σ , definido como:

$$E_\sigma := \{(\boldsymbol{\sigma}, q) \in S \times \mathfrak{R} \text{ tal que } f(\boldsymbol{\sigma}, q) \leq 0\} \quad (6)$$

onde q é uma variável dada por $q = H' \alpha$; H' é o módulo plástico de encruamento isotrópico associado a variável de estado α , que é a variável interna de encruamento isotrópico relacionado à evolução da deformação plástica. $S := \{\xi: \mathfrak{R}^{\text{dim}} \rightarrow \mathfrak{R}^{\text{dim}} \text{ tal que } \xi \text{ é linear e } \xi = \xi^T\}$ é o espaço vetorial com produto interno $\xi: \xi = \text{tr}[\xi^T \xi] \equiv \xi_{ij} \xi_{ij}$.

4) O domínio elástico é definido pelo interior de E_σ e denotado por $\text{int}(E_\sigma)$ e a superfície de escoamento no espaço de tensões é formada pelo contorno de E_σ , denotada por ∂E_σ . Como no caso unidimensional, $E_\sigma = \text{int}(E_\sigma) \cup \partial E_\sigma$.

5) Adotando-se a associatividade no encruamento, as equações de evolução para $\boldsymbol{\varepsilon}^p$ e q , chamadas de regra do escoamento e lei do encruamento, respectivamente, são:

$$\dot{\boldsymbol{\varepsilon}}^p = \gamma \partial_\sigma f \quad (7)$$

$$\dot{q} = -\gamma H' \partial_q f \quad (8)$$

onde $\partial_\sigma f$ e $\partial_q f$ indicam $\partial f / \partial \boldsymbol{\sigma}$ e $\partial f / \partial q$, respectivamente. O parâmetro $\gamma \geq 0$ é uma função não-negativa, chamada de parâmetro de consistência, que dá a "velocidade" da plastificação e obedece as condições de complementaridade de Kuhn-Tucker (condições de carga-descarga):

$$\gamma \geq 0, \quad f(\boldsymbol{\sigma}, q) \leq 0, \quad \gamma f(\boldsymbol{\sigma}, q) = 0 \quad (9)$$

além disso, satisfaz a condição de consistência:

$$\gamma \dot{f}(\boldsymbol{\sigma}, q) = 0 \quad (10)$$

onde \dot{f} é a taxa da função de escoamento.

A partir da condição de consistência, sabendo-se que o tensor C é positivo definido, pode-se obter uma expressão para $\gamma > 0$:

$$\text{se } \dot{f} = 0, \text{ então } \gamma = \frac{\partial_{\sigma} f : C : \dot{\epsilon}}{\partial_{\sigma} f : C : \partial_{\sigma} f + \partial_q f H' \partial_q f} \quad (11)$$

Após o escoamento plástico, substituindo (11) na equação constitutiva em taxa e usando a equação ((7)), obtém-se a relação:

$$\dot{\sigma} = C^{ep} : \dot{\epsilon} \quad (12)$$

onde C^{ep} é o módulo tangente elastoplástico, dado por:

$$C^{ep} = \begin{cases} C, & \text{se } \gamma = 0 \\ C - \frac{C : \partial_{\sigma} f \otimes C : \partial_{\sigma} f}{\partial_{\sigma} f : C : \partial_{\sigma} f + \partial_q f H' \partial_q f} & \text{se } \gamma > 0 \end{cases} \quad (13)$$

C^{ep} é um tensor de quarta ordem frequentemente chamado de operador tangente elastoplástico contínuo (Simo, 1985). Geralmente, C^{ep} não é simétrico, exceto no caso onde é usado um modelo associativo.

As equações vistas acima fazem parte do conjunto de equações que governam a plasticidade geral, podendo ser aplicadas a diferentes modelos constitutivos elastoplásticos, já que não foi feita alguma particularização com relação à função $f(\sigma, q)$.

2.1 Modelo elastoplástico J_2 com encruamento isotrópico linear

No caso do modelo elastoplástico J_2 com encruamento isotrópico linear, que é o utilizado neste trabalho, a condição de escoamento de von Mises é dada por:

$$f(\sigma, q) = \zeta - (\sigma_y + q) \leq 0 \quad (14)$$

onde $q = H' \alpha$, $\zeta = \sqrt{3J_2}$ é denominada tensão equivalente ou tensão de Von Mises, em que J_2 é o segundo invariante do tensor deviatórico de tensões s .

A taxa de deformação plástica fica expressa na forma:

$$\dot{\epsilon}^p = \gamma \partial_{\sigma} f = \gamma \sqrt{\frac{3}{2}} \mathbf{n} = \gamma \mathbf{N} \quad (15)$$

onde $\mathbf{n} = s / \|s\|$ é um tensor de norma unitária que dá a direção do escoamento plástico e $\mathbf{N} = \sqrt{3/2} \mathbf{n}$ é denominado tensor de escoamento.

Considerando o fato de que para o modelo de von Mises \mathbf{N} é um tensor deviatórico, tem-se (Souza Neto et al. 2008):

$$\mathbf{N} \mathbf{C} : \mathbf{N} = 2\mu \mathbf{N} \quad (16)$$

e usando $\mathbf{N} = \sqrt{3/2} \mathbf{n}$, segue que:

$$\mathbf{N} : \mathbf{C} : \mathbf{N} = 3\mu \quad (17)$$

A equação ((8)) pode ser reescrita como:

$$\dot{q} = -\gamma H' \partial_q f = -\gamma H'(-1) = \gamma H' \quad (18)$$

A lei de evolução para α é dada por:

$$\dot{\alpha} = -\gamma \partial_q f = \gamma \quad (19)$$

Em termos da descrição termodinâmica, o modelo de von Mises com encruamento isotrópico é obtido postulando-se que:

$$\alpha \equiv \varepsilon_{ac}^p \quad (20)$$

onde ε_{ac}^p é a deformação plástica acumulada, com taxa dada por $\dot{\varepsilon}_{ac}^p = \sqrt{2/3} \|\dot{\boldsymbol{\varepsilon}}^p\| = \gamma$.

A partir da equação (13), adotando-se $\partial_\sigma f = N$ (normalidade) e usando-se as equações ((16)) e ((17)), chega-se a forma:

$$\mathbf{C}^{ep} = \mathbf{C} - \frac{6\mu^2}{3\mu + H'} (\mathbf{n} \otimes \mathbf{n}) = \lambda \mathbf{I} \otimes \mathbf{I} + 2\mu \left[\mathbf{II} - \frac{(\mathbf{n} \otimes \mathbf{n})}{1 + \frac{H'}{3\mu}} \right], \text{ se } \gamma > 0 \quad (21)$$

3 MECÂNICA DO DANO EM MEIO CONTÍNUO

A Mecânica do Dano em Meio Contínuo (MDC) é um ramo da mecânica dos sólidos em meio contínuo, onde é possível formular modelos constitutivos capazes de descrever a degradação interna de sólidos.

Muitos modelos para estimativas de acúmulo de micro-dano em materiais dúcteis têm sido estudados, alguns baseados na micro-mecânica do dano (modelo de dano micro-mecânico), enquanto outros estão baseados na teoria de dano contínuo (modelo de dano fenomenológico) que é o modelo estudado neste trabalho.

A formulação de dano aqui apresentada é baseada nos princípios da mecânica em meio contínuo, no princípio de equivalência de deformação e no conceito de tensão efetiva $\bar{\sigma}$, tendo L.M. Kachanov como pioneiro neste estudo (Katan e Voyiadjis, 2002; Ladevèze, 1983; Armero e Ollers, 2000).

Neste estudo original de Kachanov, que usa a hipótese de dano isotrópico, a variável de dano é fisicamente definida pela redução da área de um plano da seção transversal A que corta um elemento de volume representativo (EVR), devido à micro-trincas (Voyiadjis e Kattan, 1999; Souza Neto et al. 2008). Desta forma, seja um corpo danificado sujeito a uma força trativa F , a variável de dano D é definida como um escalar da seguinte maneira:

$$D = \frac{A - \bar{A}}{A} = \frac{A_D}{A} \quad (22)$$

onde A_D é a área danificada e \bar{A} é a área que efetivamente resiste ao carregamento. Daí, segue desta definição que o valor da variável escalar D é limitada por 0 e 1:

$$0 \leq D \leq 1 \quad (23)$$

onde $D = 0$ corresponde ao material do elemento sem dano e $D = 1$ é um valor crítico que implica na ruptura do elemento em duas partes.

A tensão efetiva $\bar{\sigma}$, relacionada à superfície que resiste efetivamente ao carregamento, é

dada por:

$$\bar{\sigma} = \frac{\sigma}{1-D} \quad (24)$$

onde σ é a tensão uniaxial da barra, que é facilmente encontrada pela fórmula $F = \sigma A$.

Alguns pesquisadores tendem a adotar uma variável de dano escalar isotrópica, que é tradicional e mais simples. No entanto, para uma aplicação mais realista dos princípios da mecânica do dano, é necessário considerar a anisotropia do dano, onde o fenômeno anisotrópico da distribuição de micro-danos num material é interpretado usando um tensor simétrico de segunda ordem. Neste caso, diferentes níveis de dano são relacionados a direções principais, e um simples parâmetro de dano escalar não é mais suficiente para quantificar o dano em todas as direções (Al-Rub e Voyiadjis, 2003).

Desde o desenvolvimento original de Kachanov (1958) e Rabotnov (1963), não levou muito tempo para que o conceito de variável de dano interno fosse generalizado para situações tridimensionais.

Fisicamente, a variável de dano é definida como a densidade da superfície de micro-trincas sobre um plano do EVR de seção transversal δS . Para um plano de normal n , tem-se:

$$D_{(n)} = \frac{\delta S - \delta \tilde{S}}{\delta S} = \frac{\delta S_D}{\delta S} \quad (25)$$

onde $\delta \tilde{S}$ representa a área íntegra num meio danificado e δS_D é a superfície danificada.

Para o estudo de dano tridimensional em metais dúcteis acoplado com plasticidade, será considerado o modelo de Lemaitre para dano isotrópico e ortotrópico (Lemaitre e Desmorat, 2005; Souza Neto et al. 2008), baseado no conceito de tensão efetiva e na hipótese de equivalência de deformação.

Neste caso, a forma generalizada da relação constitutiva estabelece uma relação entre tensores de segunda ordem de tensão e de deformação por meio de um tensor constitutivo de rigidez elástica de quarta ordem

$$\sigma_{ij} = C_{ijkl} : \epsilon_{kl} \quad (26)$$

3.1 Termodinâmica do dano

O ponto de partida dessa teoria é a hipótese de que a energia livre, tomada como potencial termodinâmico, é uma função do conjunto de variáveis de estado internas $\{\epsilon^p, \alpha, D\}$ (Souza Neto et al. 2008), isto é:

$$\psi = \psi(\epsilon^e, \alpha, D) \quad (27)$$

3.1.1 Potencial de dissipação e leis de evolução

A dissipação, que precisa ser positiva para satisfazer a segunda lei da termodinâmica, é escrita através da desigualdade de Clausius-Duhem, da seguinte forma (Torres, 2003):

$$\sigma : \dot{\epsilon}^p - q\dot{\alpha} - Y\dot{D} \geq 0 \quad (28)$$

Considera-se um potencial de dissipação ϕ , que é função das variáveis associadas

$\{\boldsymbol{\sigma}, q, Y\}$ das quais derivam as leis de evolução para $\{\boldsymbol{\varepsilon}^e, \alpha, D\}$ (Lemaitre, 1985). Admite-se sua decomposição em uma parcela relativa aos efeitos de plastificação e encruamento φ^p e outra relativa à danificação φ^d ,

$$\varphi = \varphi^p(\boldsymbol{\sigma}, q; D) + \varphi^d(Y; D) \quad (29)$$

Do potencial de dissipação são derivadas as leis que governam a evolução das variáveis internas $\{\boldsymbol{\varepsilon}^p, \alpha, D\}$, que para o caso de dano acoplado com plasticidade, são escritas como:

$$\dot{\boldsymbol{\varepsilon}}^p = \gamma \frac{\partial \varphi}{\partial \boldsymbol{\sigma}} \quad (30)$$

$$\dot{\alpha} = -\gamma \frac{\partial \varphi}{\partial q} \quad (31)$$

$$\dot{D} = -\gamma \frac{\partial \varphi}{\partial Y} \quad (32)$$

3.2 Dano isotrópico

Para o dano isotrópico, a variável de dano D é um escalar e apresenta o mesmo valor em todas as direções (Omerspahic, 2007), não dependendo da normal \mathbf{n} .

Segundo a hipótese de decomposição entre elasticidade-dano e encruamento plástico, a energia livre pode ser escrita como a seguinte soma (Souza Neto et al. 2008):

$$\psi = \psi^{ed}(\boldsymbol{\varepsilon}^e, D) + \psi^p(\alpha) \quad (33)$$

onde ψ^{ed} e ψ^p são, respectivamente, a contribuição de elasticidade-dano e a contribuição plástica para a energia livre. De acordo com o princípio de equivalência de deformação, o potencial de elasticidade-dano é dado por (Lemaitre e Desmorat, 2005):

$$\rho \psi^{ed}(\boldsymbol{\varepsilon}^e, D) = \frac{1}{2} \boldsymbol{\varepsilon}^e : (1-D) \mathbf{C} : \boldsymbol{\varepsilon}^e = \frac{1+\nu}{2E} \frac{\boldsymbol{\sigma} : \boldsymbol{\sigma}}{1-D} - \frac{\nu}{2E} \frac{tr(\boldsymbol{\sigma})^2}{1-D} \quad (34)$$

ou em termos das tensões deviatórica e volumétrica:

$$\rho \psi^{ed}(\boldsymbol{\varepsilon}^e, D) = \frac{1+\nu}{2E} \frac{\mathbf{s} : \mathbf{s}}{1-D} + \frac{3(1-2\nu)}{2E} \frac{p^2}{1-D} = \frac{\zeta R_v}{2E(1-D)} \quad (35)$$

onde ρ é a densidade do material, \mathbf{C} é o tensor de módulo elástico isotrópico do meio íntegro, $p = \frac{1}{3} tr(\boldsymbol{\sigma})$ é a tensão volumétrica, $\mathbf{s} = \boldsymbol{\sigma} - p\mathbf{I}$ é a tensão deviatórica, $\zeta = \sqrt{\frac{3}{2} \mathbf{s} : \mathbf{s}}$ a tensão equivalente de von Mises, ν é o coeficiente de Poisson, E é o módulo de elasticidade e R_v é a função de triaxialidade, dada por:

$$R_v = \frac{2}{3}(1+\nu) + 3(1-2\nu) \left(\frac{p}{\zeta} \right)^2 \quad (36)$$

Para este potencial particular, a lei da elasticidade é dada por:

$$\boldsymbol{\sigma} = \rho \frac{\partial \psi^{ed}}{\partial \boldsymbol{\varepsilon}^e} = (1-D)\mathbf{C} : \boldsymbol{\varepsilon}^e \quad (37)$$

O tensor tensão efetivo $\bar{\boldsymbol{\sigma}}$ pode ser escrito como:

$$\bar{\boldsymbol{\sigma}} = \frac{\boldsymbol{\sigma}}{(1-D)} \quad (38)$$

A relação constitutiva do meio danificado contínuo é dada por:

$$\boldsymbol{\sigma} = \tilde{\mathbf{C}} : \boldsymbol{\varepsilon}^e \quad (39)$$

onde $\tilde{\mathbf{C}}$ é o tensor de módulo elástico efetivo, que considera o efeito da danificação. Com a hipótese de equivalência de deformação, obtém-se:

$$\tilde{\mathbf{C}} = (1-D)\mathbf{C} \quad (40)$$

onde a variável de dano toma valores no intervalo $[0,1]$.

A força termodinâmica relacionada à variável interna de dano também é definida pelo potencial termodinâmico e é dada por:

$$Y = \rho \frac{\partial \psi}{\partial D}(\boldsymbol{\varepsilon}^e, D) = -\frac{1}{2} \boldsymbol{\varepsilon}^e : \mathbf{C} : \boldsymbol{\varepsilon}^e = -\frac{\zeta^2 R_v}{2E(1-D)^2} \quad (41)$$

Comumente conhecido como a taxa de densidade de energia liberada pelo dano, $(-Y)$ corresponde à variação da densidade de energia interna devido ao crescimento do dano sob tensão constante.

Quanto ao potencial de dissipação, suas parcelas relativas aos efeitos de plastificação e encruamento φ^p e danificação φ^d , são dadas por:

$$\varphi^p(\boldsymbol{\sigma}, q, D) = f(\boldsymbol{\sigma}, q, D) \quad (42)$$

$$\varphi^d(Y, D) = \frac{r}{(1-D)(s+1)} \left(\frac{-Y}{r} \right)^{s+1} \quad (43)$$

sendo que r e s são parâmetros do material, definidas mediante ensaios experimentais. Aqui é adotada a hipótese de plasticidade associada, onde o critério de escoamento é usado como potencial plástico.

Para a função de escoamento f , é adotada a seguinte forma de von Mises:

$$f(\boldsymbol{\sigma}, q, D) = \bar{\zeta} - (\sigma_y + q) \quad (44)$$

onde $\bar{\zeta} = \sqrt{\frac{3}{2} \bar{\mathbf{s}} : \bar{\mathbf{s}}} = \sqrt{3J_2(\bar{\mathbf{s}})}$, $q = H' \alpha$ e σ_y é a tensão limite de escoamento inicial do material.

A regra da normalidade (hipótese clássica de materiais padrão generalizados) com relação a φ pode ser considerada válida, e obtém-se as seguintes equações de evolução:

$$\dot{\varepsilon}^p = \gamma \frac{\partial \varphi}{\partial \boldsymbol{\sigma}} = \gamma \frac{\partial \varphi^p}{\partial \boldsymbol{\sigma}} = \gamma \mathbf{N} \quad (\text{regra do escoamento}) \quad (45)$$

onde γ é o parâmetro de consistência, \mathbf{N} é o tensor de escoamento plástico (Souza Neto et al. 2008):

$$\mathbf{N} = \sqrt{\frac{3}{2}} \frac{\mathbf{s}}{(1-D)\|\mathbf{s}\|} = \frac{3}{2} \frac{\mathbf{s}}{(1-D)\sqrt{3J_2(\mathbf{s})}} \quad (46)$$

e J_2 é o segundo invariante do tensor deviatórico de tensões \mathbf{s} .

$$\dot{\alpha} = -\gamma \frac{\partial \varphi}{\partial q} = -\gamma \frac{\partial \varphi^p}{\partial q} = \gamma \quad (47)$$

Fazendo-se uso da regra do escoamento, dada pela equação (45), a lei de evolução da deformação plástica acumulada é dada por:

$$\dot{\varepsilon}_{ac}^p = \sqrt{\frac{2}{3}} \|\dot{\varepsilon}^p\| \quad (48)$$

e a lei de evolução do dano é escrita como:

$$\dot{D} = -\gamma \frac{\partial \varphi^d}{\partial Y} = \left(\frac{-Y}{r} \right)^s \dot{\varepsilon}_{ac}^p \quad (49)$$

Este modelo admite que o dano evolua somente após ser atingido certo valor para a deformação plástica acumulada ε_{ac}^p , sendo que este valor crítico é chamado limiar de dano e é denotado por ε_D . Assim, a lei de evolução do dano (49) pode ser modificada para:

$$\dot{D} = H(\varepsilon_{ac}^p - \varepsilon_D) \left(\frac{-Y}{r} \right)^s \dot{\varepsilon}_{ac}^p, \quad \varepsilon_{ac}^p > \varepsilon_D \quad (50)$$

sendo que $\varepsilon_{ac}^p = \alpha$ enquanto não houver dano e a função de Heaviside H é definida como:

$$H(a) = \begin{cases} 1 & \text{se } a \geq 0 \\ 0 & \text{se } a < 0 \end{cases}, \quad \text{para algum escalar } a \quad (51)$$

A condição de iniciação de uma meso-trinca é alcançada quando a variável escalar de dano atinge o valor crítico D_c , que é considerado uma constante do material e não é fácil de medir.

3.3 Dano ortotrópico

Para considerar a ortotropia do dano, será usada uma extensão do modelo de dano dúctil isotrópico descrito anteriormente.

O dano geral anisotrópico é representado por um tensor de quarta ordem, mas para aplicações práticas é frequentemente usado um tensor de segunda ordem simétrico (Desmorat e Cantournet, 2007), assim como os tensores de tensões e deformações. Como mostrado por observações microscópicas, o tensor de dano é principalmente dirigido pela deformação plástica, que o faz ortotrópico (Lemaitre e Desmorat, 2001).

Como o dano modifica as propriedades elásticas dos materiais, um tensor de elasticidade efetivo de quarta ordem é comumente introduzido como:

$$\boldsymbol{\sigma} = \tilde{\mathbf{C}} : \boldsymbol{\varepsilon}^e \quad (52)$$

e utilizando o princípio de equivalência de deformação, obtém-se:

$$\tilde{\mathbf{C}} = \mathbf{M}^{-1} : \mathbf{C} \quad (53)$$

\mathbf{M} é um tensor de quarta ordem, que também define o tensor tensão efetivo:

$$\bar{\boldsymbol{\sigma}} = \mathbf{M} \boldsymbol{\sigma} \quad (54)$$

O tensor \mathbf{M} pode ser escrito como:

$$M_{ijkl} = H_{ik} H_{lj} - \frac{1}{3} [H_{kl}^2 \delta_{ij} + H_{ij}^2 \delta_{kl}] + \frac{1}{9} H_{pp}^2 \delta_{ij} \delta_{kl} + \frac{1}{3(1-d_H)} \delta_{ij} \delta_{kl} \quad (55)$$

onde δ_{ij} é o delta de Kronecker,

$$d_H = \eta D_H \quad (56)$$

na qual η é um parâmetro do material introduzido por Lemaitre (Lemaitre et al. 2000) associado com a variação do coeficiente de Poisson devido ao dano. O parâmetro η depende do material e frequentemente, para metais, $\eta \approx 3$. D_H é dado por:

$$D_H = \frac{1}{3} \text{tr}(\mathbf{D}) = \frac{1}{3} D_{kk} \quad (57)$$

O tensor de segunda ordem \mathbf{H} é chamado de tensor de dano efetivo, dado por:

$$H_{ij} \equiv (\mathbf{I} - \mathbf{D})_{ij}^{-\frac{1}{2}} \quad (58)$$

O potencial $\rho\psi^{ed}$ (equação (35) para o caso isotrópico) representado pelo tensor \mathbf{D} é (Lemaitre e Desmorat, 2005):

$$\rho\psi^{ed} = \frac{1+\nu}{2E} H_{ij} s_{jk} H_{kl} s_{li} + \frac{3(1-2\nu)}{2E} \frac{p^2}{1-d_H} \quad (59)$$

Com relação às parcelas deviatórica e volumétrica, o tensor de tensões efetivo pode ser escrito como:

$$\bar{\boldsymbol{\sigma}} = \bar{\mathbf{s}} + \bar{p}\mathbf{I} \quad (60)$$

na qual $\bar{\mathbf{s}}$ e \bar{p} são, respectivamente, a tensão efetiva deviatórica e volumétrica, definidas como:

$$\bar{\mathbf{s}} \equiv \text{dev}[\mathbf{H}\mathbf{s}\mathbf{H}] \quad (61)$$

$$\bar{p} = \frac{p}{1-d_H} \quad (62)$$

O tensor taxa de densidade de energia liberada pelo dano ($-Y$) é dado por $-Y_{ij} = \rho \frac{\partial \psi}{\partial D_{ij}}$, mas é substituído na lei de evolução do dano pelo escalar ($-\bar{Y}$) chamado de densidade de energia elástica efetiva, que pode ser escrito como uma função da tensão efetiva:

$$-\bar{Y} = \frac{1}{2} C_{ijkl} \epsilon_{kl}^e \epsilon_{ij}^e = \frac{1}{2} \bar{\sigma}_{ij} \epsilon_{ij}^e = \frac{\bar{\zeta}^2 \bar{R}_v}{2E} \quad (63)$$

onde C_{ijkl} são as componentes do tensor de elasticidade C , E é o módulo elástico e \bar{R}_v é a função de triaxialidade efetiva:

$$\bar{R}_v = \frac{2}{3}(1+\nu) + 3(1-2\nu) \left(\frac{\bar{p}}{\bar{\zeta}} \right)^2 \quad (64)$$

com

$$\bar{\zeta} = (\mathbf{HsH})_{eq} = \left[\frac{3}{2} dev(\mathbf{HsH}) : dev(\mathbf{HsH}) \right]^{\frac{1}{2}} \quad (65)$$

onde $(\cdot)_{eq} = \sqrt{\frac{3}{2} dev(\cdot) : dev(\cdot)}$.

Segundo (Lemaitre et al. 2000), a lei de evolução do dano anisotrópico é uma simples extensão do caso isotrópico, se for considerado o seguinte potencial de dissipação:

$$\varphi = f + \varphi^d = f + \left(-\frac{\bar{Y}}{r} \right) (-Y_{ij}) \left| \frac{d\epsilon^p}{d\alpha} \right|_{ij} \quad (66)$$

onde $|\cdot|$ aplicado a um tensor significa o valor absoluto em termos das componentes principais, α é a variável interna associada ao encruamento isotrópico, f é a função de escoamento de von Mises dada por:

$$f = \bar{\zeta} - (\sigma_y + q) \quad (67)$$

A lei de evolução da deformação plástica é:

$$\dot{\epsilon}^p = \gamma \frac{\partial \varphi}{\partial \boldsymbol{\sigma}} = \gamma \mathbf{N}^x \quad (68)$$

onde são definidas as normais (Lemaitre e Desmorat, 2005):

$$\mathbf{N}^x = dev(\mathbf{Hn}^x \mathbf{H}) \quad (69)$$

$$\mathbf{n}^x = \frac{3 \bar{s}}{2 \bar{\zeta}} = \sqrt{\frac{3}{2}} \frac{\bar{s}}{\|\bar{s}\|} \quad (70)$$

A evolução da variável de escoamento continua com sua forma usual:

$$\dot{\alpha} = \gamma \quad (71)$$

e a taxa da deformação plástica acumulada é:

$$\dot{\varepsilon}_{ac}^p = \sqrt{\frac{2}{3} \|\dot{\boldsymbol{\varepsilon}}^p\|^2} = \sqrt{\frac{2}{3} \mathbf{N}^x : \mathbf{N}^x} \gamma \quad (72)$$

De acordo com o contexto da termodinâmica, a lei de evolução para o tensor dano deriva do potencial de dissipação, onde segue a mesma direção da deformação plástica:

$$\dot{\mathbf{D}} = -\gamma \frac{\partial \varphi^d}{\partial \mathbf{Y}} = \left(\frac{-\mathbf{Y}}{r} \right)^s \dot{\boldsymbol{\varepsilon}}_D^p \quad (73)$$

sendo que $\varepsilon_{ac}^p = \alpha$ enquanto não houver dano e $\dot{\boldsymbol{\varepsilon}}^p$ é a taxa da deformação plástica absoluta definida como:

$$\dot{\boldsymbol{\varepsilon}}^p = \sum_{i=1}^3 |\dot{\varepsilon}_i^p| \mathbf{e}_i^p \otimes \mathbf{e}_i^p \quad (74)$$

onde $\dot{\varepsilon}_i^p$ são os autovalores do tensor taxa de deformação plástica $\dot{\boldsymbol{\varepsilon}}^p$ e $\{\mathbf{e}_i^p\}$ é a base ortonormal de autovetores da $\dot{\boldsymbol{\varepsilon}}^p$.

A evolução do dano inicia somente após ser atingido um limiar escrito em termos da deformação plástica acumulada, ou seja:

$$\dot{\mathbf{D}} = 0, \text{ se } \varepsilon_{ac}^p < \varepsilon_D \quad (75)$$

De acordo com a definição física de dano, a condição de iniciação de uma meso-trinca é alcançada quando a intensidade do dano em certo plano atinge o valor crítico D_c e isto ocorre quando o maior valor principal de dano D_I atinge D_c (Lemaitre e Desmorat, 2001):

$$\max D_I = D_c \rightarrow \text{início da meso-trinca} \quad (76)$$

Para o caso de dano anisotrópico, um valor aproximado para o dano crítico é $D_c = 0,5$.

3.4 Algoritmo de integração e mapeamento de retorno para elastoplasticidade acoplada ao dano

Abaixo, apresenta-se o modelo constitutivo, na sua fórmula incremental implícita que conduz ao algoritmo de retorno, para o caso de elastoplasticidade tridimensional com encruamento isotrópico, acoplado ao dano isotrópico e ortotrópico, proposto em (Lemaitre e Desmorat, 2005). O algoritmo numérico é baseado em uma etapa de previsão, que corresponde ao estado elástico (teste) e uma etapa de correção correspondente a um estado de plastificação/dano.

1) Calcula estado teste (preditor elástico):

Dado $\Delta \boldsymbol{\varepsilon}$ e as variáveis de estado em t_n , calcular o estado elástico teste

$$\boldsymbol{\varepsilon}_{n+1}^e \text{ teste} = \boldsymbol{\varepsilon}_n^e + \Delta \boldsymbol{\varepsilon}$$

$$\alpha_{n+1}^{\text{teste}} = \alpha_n$$

$$\boldsymbol{\varepsilon}_{ac(n+1)}^{teste} = \boldsymbol{\varepsilon}_{ac(n)}$$

$$\mathbf{D}_{n+1}^{teste} = \mathbf{D}_n$$

$$\bar{\boldsymbol{\sigma}}_{n+1}^{teste} = \mathbf{C} \boldsymbol{\varepsilon}_{n+1}^{e\ teste}$$

2) Testa consistência plástica:

Se $f_{n+1}^{teste} := \bar{\zeta}_{n+1}^{teste} - (\sigma_y + H' \alpha_{n+1}^{teste}) \leq 0$, então passo elástico.

Logo, o conjunto $(\cdot)_{n+1} = (\cdot)_{n+1}^{teste}$ e $\mathbf{C}_{n+1}^{ep} = \mathbf{C}$, finaliza.

Senão, passo plástico, vá para (3).

3) Mapeamento de retorno (estado de correção):

Seja o residual local definido por $\{R_{loc}\} = \{R_{\boldsymbol{\varepsilon}^e}, R_{\Delta\gamma}, R_D\}^T$, resolve o sistema abaixo para as variáveis independentes $W = \{\boldsymbol{\varepsilon}^e, \Delta\gamma, \mathbf{D}\}$:

$$\left\{ \begin{array}{l} R_{\boldsymbol{\varepsilon}^e} = \Delta\boldsymbol{\varepsilon}^e - \Delta\boldsymbol{\varepsilon} + \Delta\boldsymbol{\varepsilon}^p = \boldsymbol{\varepsilon}_{n+1}^{e(i)} - \boldsymbol{\varepsilon}_n^e - \Delta\boldsymbol{\varepsilon} + \Delta\gamma_{n+1}^{(i)} N_{n+1}^X \\ R_{\Delta\gamma} = f_{n+1} := \bar{\zeta}_{n+1}^{(i)} - (\sigma_y + H' (\alpha_n + \Delta\gamma_{n+1}^{(i)})) \\ R_D = \begin{cases} \mathbf{D}_{n+1}^{(i)} - \mathbf{D}_n - \left(\frac{-Y}{r}\right)^s \frac{\Delta\gamma_{n+1}^{(i)}}{1 - \mathbf{D}_{n+1}^{(i)}} & \text{(isotrópico)} \\ \mathbf{D}_{n+1}^{(i)} - \mathbf{D}_n - \left(\frac{-\bar{Y}}{r}\right)^s \tilde{\boldsymbol{\varepsilon}}^p & \text{(ortotrópico)} \end{cases} \end{array} \right\} = \left\{ \begin{array}{l} 0 \\ 0 \\ 0 \end{array} \right\}$$

onde $\Delta\boldsymbol{\varepsilon} = \boldsymbol{\varepsilon}_{n+1} - \boldsymbol{\varepsilon}_n$.

Para solucionar o sistema acima, pode-se usar novamente o esquema iterativo de Newton-Raphson. Logo, resolve-se o problema iterativo local:

$$\{R_{loc}^{(n+1)}\} + \left[\frac{\partial \{R_{loc}\}}{\partial \Delta W} \right]_{n+1}^{(i)} (W_{n+1}^{(i+1)} - W_{n+1}^{(i)}) = 0$$

com $\Delta W = \{\Delta\boldsymbol{\varepsilon}^e, \Delta\Delta\gamma, \Delta\mathbf{D}\}$, onde a expressão para a matriz jacobiana $[\mathbf{Jac}] = \left[\frac{\partial \{R_{loc}\}}{\partial \Delta W} \right]_{n+1}^{(i)}$

(ou alguma boa aproximação dela) se faz necessária por razões de convergência. Neste trabalho utilizou-se o método de diferenças finitas para calcular a matriz jacobiana.

4) Atualização:

Uma vez que as variáveis $\boldsymbol{\varepsilon}_{n+1}^e$, $\Delta\gamma_{n+1}$ e \mathbf{D}_{n+1} tenham sido determinadas na resolução do sistema do passo (3), as variáveis remanescentes são atualizadas explicitamente:

$$\bar{\boldsymbol{\sigma}}_{n+1} = \mathbf{C} \boldsymbol{\varepsilon}_{n+1}^e$$

$$\alpha_{n+1} = \alpha_n + \Delta\gamma_{n+1}$$

$$\boldsymbol{\varepsilon}_{n+1}^p = \boldsymbol{\varepsilon}_{n+1} - \boldsymbol{\varepsilon}_{n+1}^e$$

$$\boldsymbol{\varepsilon}_{ac(n+1)}^p = \boldsymbol{\varepsilon}_{ac(n)}^p + \sqrt{\frac{2}{3}} \mathbf{n} : \mathbf{n} \Delta\gamma_{n+1}, \text{ para dano ortotrópico}$$

$$\boldsymbol{\varepsilon}_{ac(n+1)}^p = \boldsymbol{\varepsilon}_{ac(n)}^p + \frac{\Delta\gamma_{n+1}}{1 - D_{n+1}}, \text{ para dano isotrópico}$$

$$\boldsymbol{\sigma}_{n+1} = \mathbf{M}_{n+1}^{-1} \bar{\boldsymbol{\sigma}}_{n+1}, \text{ para dano ortotrópico}$$

$$\boldsymbol{\sigma}_{n+1} = (1 - D_{n+1}) \bar{\boldsymbol{\sigma}}_{n+1}, \text{ para dano isotrópico}$$

$$\bar{\boldsymbol{\zeta}}_{n+1} = \left[\frac{3}{2} \text{dev}(\mathbf{H}_{n+1} \mathbf{s}_{n+1} \mathbf{H}_{n+1}) : \text{dev}(\mathbf{H}_{n+1} \mathbf{s}_{n+1} \mathbf{H}_{n+1}) \right]^{\frac{1}{2}}, \text{ para dano ortotrópico}$$

$$\bar{\boldsymbol{\zeta}} = \sqrt{\frac{3}{2} \frac{\mathbf{s}_{n+1}}{(1 - D_{n+1})} : \frac{\mathbf{s}_{n+1}}{(1 - D_{n+1})}}, \text{ para dano isotrópico}$$

5) Calcula o operador tangente elastoplástico:

Seja a primeira coluna da inversa da matriz jacobiana $[\mathbf{Jac}]$, na convergência, dada por:

$$\begin{bmatrix} [\mathbf{Jac}]_{\Delta\gamma, \boldsymbol{\varepsilon}^e}^{-1} \\ [\mathbf{Jac}]_{\boldsymbol{\varepsilon}^e, \boldsymbol{\varepsilon}^e}^{-1} \\ [\mathbf{Jac}]_{D, \boldsymbol{\varepsilon}^e}^{-1} \end{bmatrix}$$

a expressão para o operador tangente elastoplástico consistente com o algoritmo de integração implícito desenvolvido acima é (Lemaitre e Desmorat, 2005):

$$\mathbf{C}^{ep} = \mathbf{M}^{-1} : \mathbf{C} : [\mathbf{Jac}]_{\boldsymbol{\varepsilon}^e, \boldsymbol{\varepsilon}^e}^{-1} + \bar{\boldsymbol{\sigma}} : \frac{\partial \mathbf{M}^{-1}}{\partial D} : [\mathbf{Jac}]_{D, \boldsymbol{\varepsilon}^e}^{-1}$$

4 APLICAÇÕES NUMÉRICAS

Neste capítulo será feita uma análise dos resultados encontrados na implementação numérica de um problema onde é feito o acoplamento de plasticidade com os danos isotrópico e ortotrópico, através da aplicação do modelo detalhado no algoritmo da Seção 3.4.

Toda a implementação computacional foi realizada via código próprio implementado em MATLAB[®] 7.6.0, sendo que a visualização dos resultados da análise foi realizada através do software GID[®] 9.0.2, que é um sistema de pré e pós-processamento de resultados de Elementos Finitos.

Foram utilizados elementos sólidos isoparamétricos (hexaedros) de vinte nós e funções de forma quadráticas.

Este problema consiste na análise tridimensional de uma chapa de espessura unitária com dois recortes cilíndricos (Figura 1), sujeita a um deslocamento controlado na direção do eixo y , ao longo de 100 passos. O modelo constitutivo do material da chapa é o elastoplástico, com critério de plastificação de von Mises, encruamento isotrópico linear e dano isotrópico e ortotrópico, conforme apresentado na seção 3.4. Os dados do problema são:

$E = 210$ GPa (módulo de elasticidade);

$\nu = 0,3$ (coeficiente de Poisson);

$H' = 10,5$ GPa (módulo de encruamento plástico isotrópico);

$\sigma_y = 620$ MPa (tensão limite de escoamento);

$D_c = 0,40$ (dano crítico);

$\varepsilon_D = 0,0$ (limiar de dano);

$\eta = 1,0$ (parâmetro do material referente ao dano – caso isotrópico);

$\eta = 3,0$ (caso ortotrópico);

$r = 3,5$ (parâmetro do material referente ao dano);

$s = 1,0$ (parâmetro do material referente ao dano);

$d = 1,0$ mm (deslocamento prescrito).

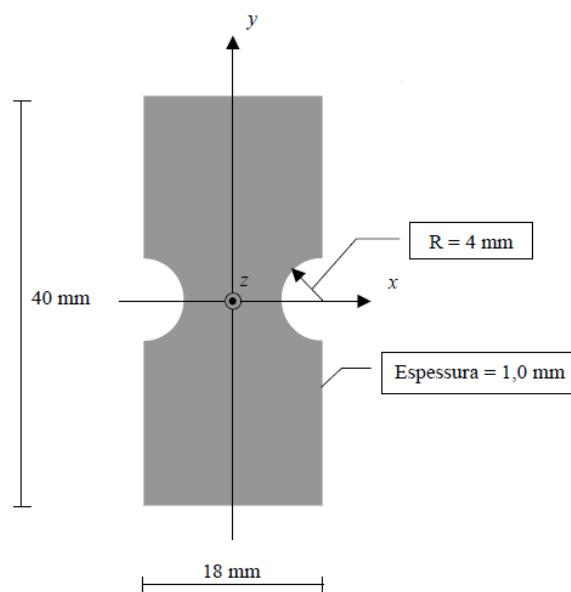


Figura 1: Dimensões da chapa

A análise estrutural é realizada apenas sobre um oitavo da estrutura. A Figura 2 mostra a estrutura efetivamente analisada, indicando a face em que é aplicado o deslocamento controlado na direção do eixo y e seus respectivos valores. Nas superfícies $x = 0$, $y = 0$ e $z = 0$, são impostas condições de contorno de simetria.

Utilizou-se uma malha constituída de 67 elementos hexaédricos, como mostra a Figura 3, sendo que na espessura há apenas uma camada de elementos.

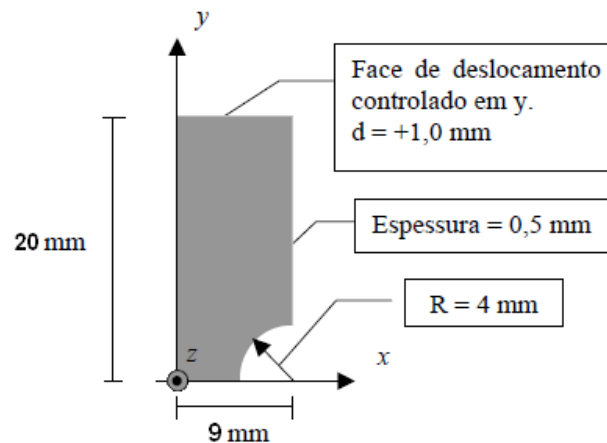


Figura 2: Estrutura efetivamente analisada, utilizando-se vínculos de simetria

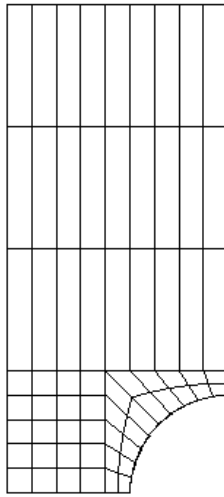


Figura 3: Malha utilizada na análise

4.1 Análise de resultados

Em seguida, apresentam-se curvas que mostram a influência dos parâmetros η , r e ε_D na evolução do dano ortotrópico, com relação ao deslocamento em y . A Figura 4 apresenta a influência de η com relação ao valor de dano principal 1 (seu valor máximo). Percebe-se que com o aumento de η , o dano crítico é atingido com mais rapidez e assim o deslocamento é menor. Observa-se que a variável η apresenta influência moderada com relação ao deslocamento final.

A Figura 5 apresenta a influência de r com relação ao valor de dano principal 1 (seu valor máximo). Percebe-se que com o aumento de r , o dano crítico demora mais para ser atingido e assim o deslocamento é maior. Observa-se que a variável r tem grande influência com relação ao deslocamento final.

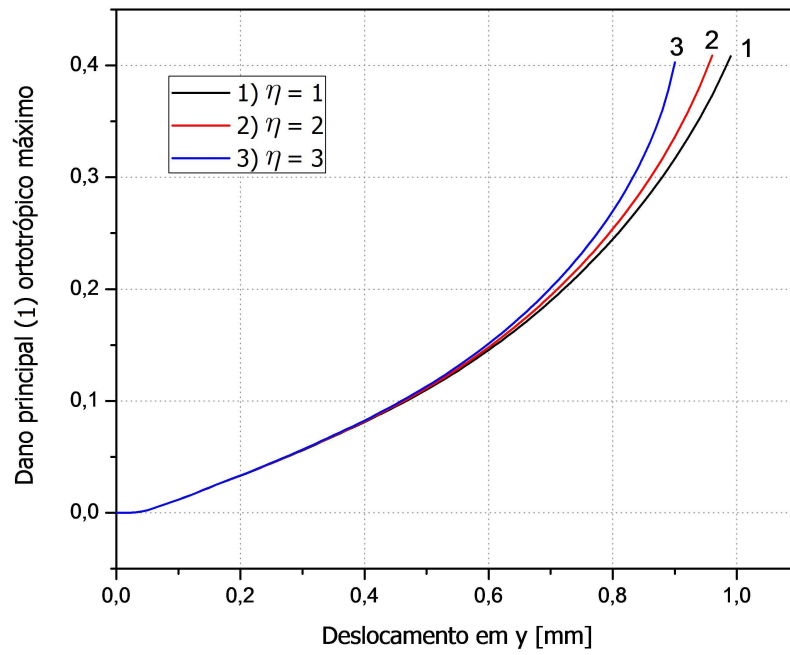


Figura 4: Curva dano - deslocamento em y [mm] com variação de η

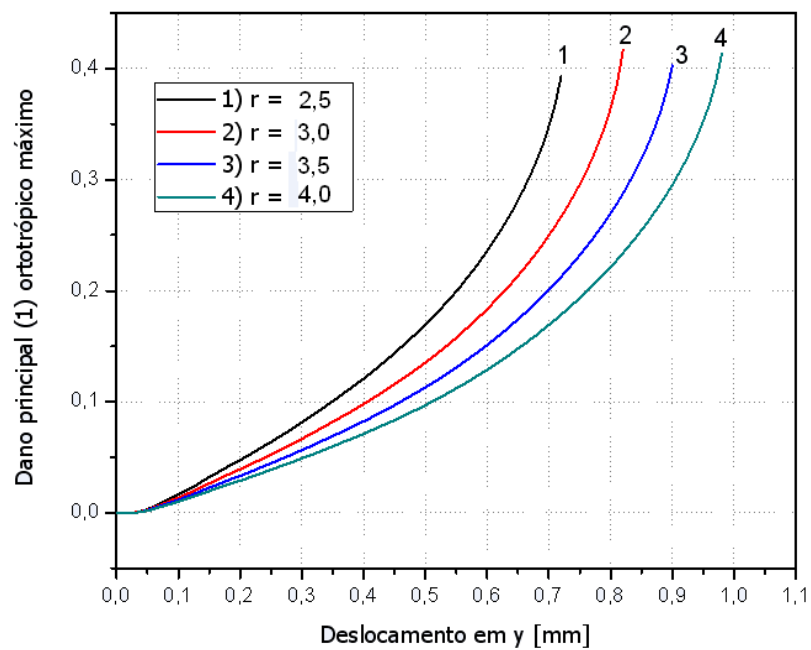


Figura 5: Curva dano - deslocamento em y [mm] com variação de r

A Figura 6 apresenta a influência do limiar de dano ε_D com relação ao valor de dano principal 1 (seu valor máximo). Observa-se que, assim como no caso da variação de r , com o aumento de ε_D , o dano crítico demora mais para ser atingido e assim o deslocamento é maior. Além disso, para $\varepsilon_D = 0,10$ o dano não atinge seu valor crítico.

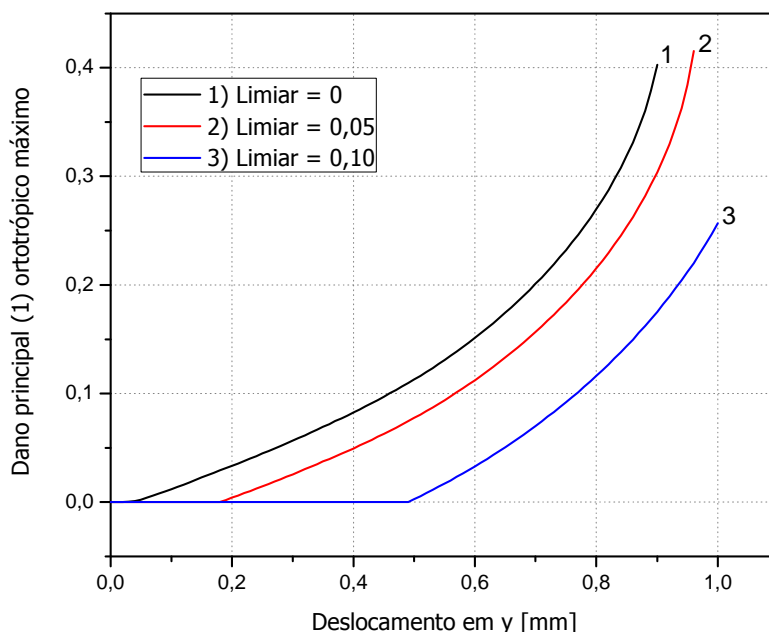


Figura 6: Curva dano - deslocamento em y [mm] com variação de ε_D

4.2 Comparação de resultados

Nesta seção, alguns resultados obtidos da simulação com o dano ortotrópico serão comparados com respostas obtidas do caso isotrópico.

A Figura 7 apresenta a curva tensão equivalente - deformação plástica acumulada (seus valores máximos no fundo do entalhe), para os modelos de dano isotrópico e ortotrópico, até que o dano atinja seu valor crítico, com deslocamento de 0,93 mm e 0,90 mm, respectivamente. Pode-se perceber que para o caso isotrópico a tensão atinge seu valor máximo quando o valor da deformação plástica acumulada é igual a 0,2. Para o caso ortotrópico, a deformação plástica acumulada não atinge 0,2. Após certo ponto, a tensão equivalente efetiva torna-se maior do que a verdadeira, como se esperava.

A Figura 8 mostra a curva dano - deformação plástica acumulada (seus valores máximos), para dano isotrópico e ortotrópico, até o dano atingir seu valor crítico. No caso ortotrópico são apresentados os valores principais de dano, correspondentes às direções de ortotropia. Assim como acontece com a tensão equivalente, pode-se perceber que no caso ortotrópico o dano atinge seu valor máximo com deformação plástica inferior à do caso isotrópico.

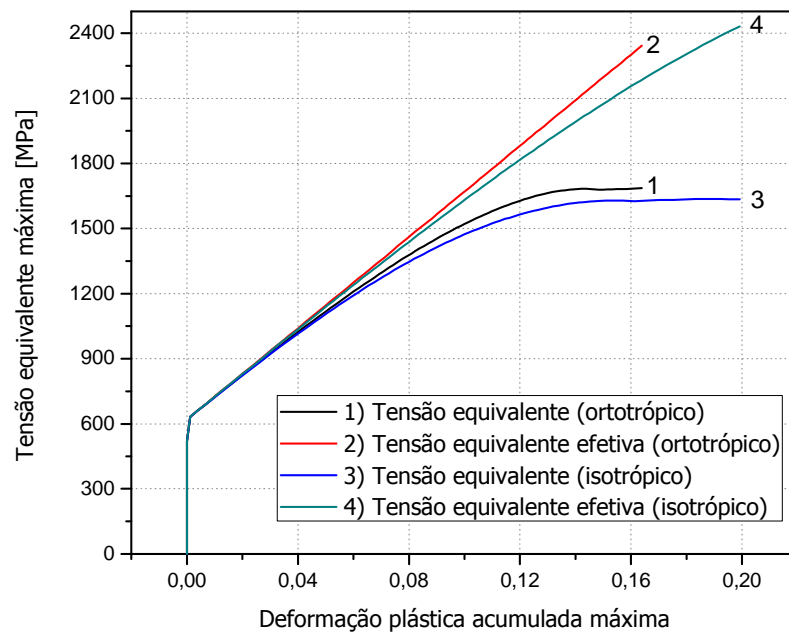


Figura 7: Curva tensão equivalente - deformação plástica acumulada até o valor crítico de dano

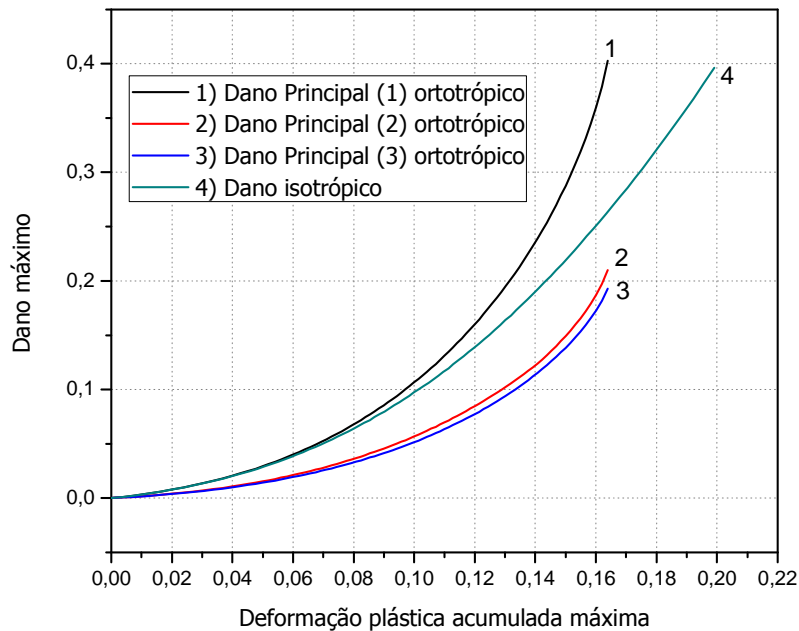


Figura 8: Curva dano - deformação plástica acumulada até o valor crítico de dano

A Figura 9 apresenta a curva dano - deslocamento em y para dano isotrópico e ortotrópico (seus valores máximos) até que o dano atinja seu valor crítico. Para o dano ortotrópico é apresentado o valor de dano principal 1. Pode-se perceber que no caso ortotrópico o dano crítico ocorre num valor de deslocamento menor do que para o caso isotrópico e de acordo

com a Figura 10, o dano fica mais concentrado próximo ao entalhe no caso ortotrópico.

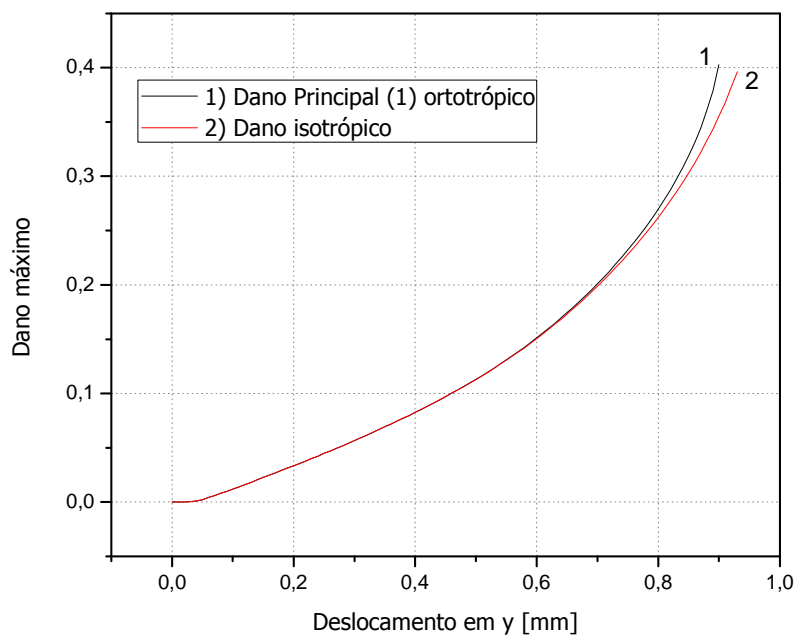


Figura 9: Curva dano - deslocamento em y [mm]

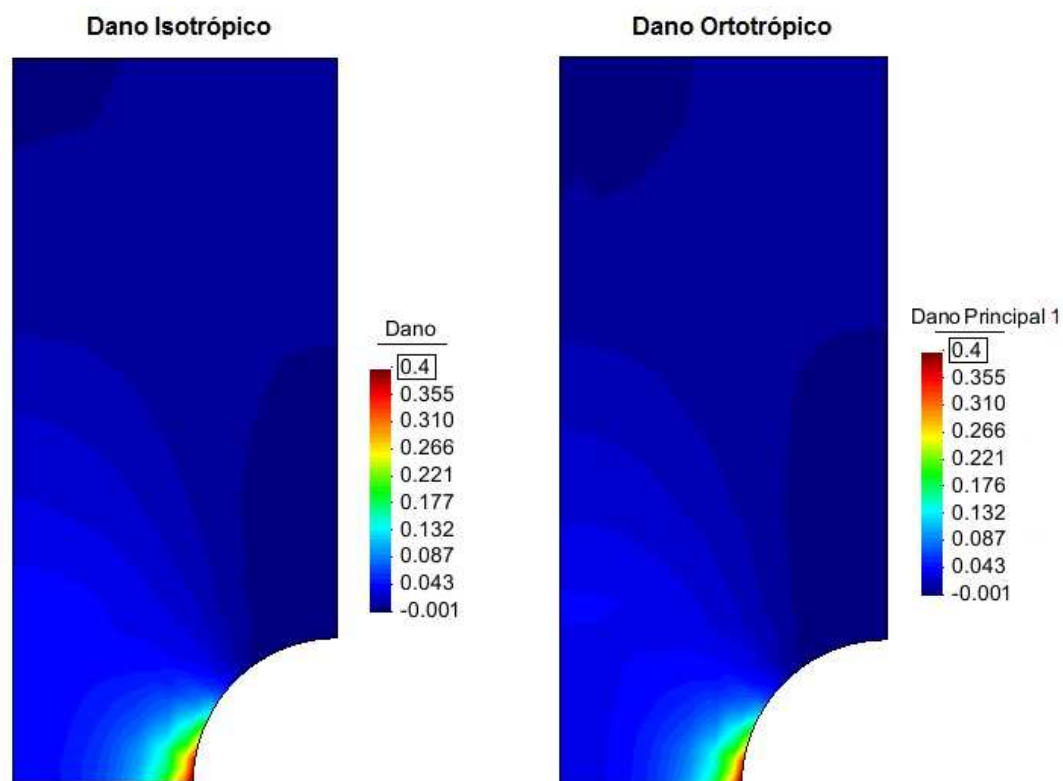


Figura 10: Concentração do dano próximo ao entalhe no passo de deslocamento referente ao dano crítico

5 CONCLUSÕES

O objetivo desse trabalho foi, através da simulação numérica, verificar a evolução do dano ortotrópico em metais acoplado-se as teorias de plasticidade e dano.

A implementação computacional realizada, adaptada a análises tridimensionais, foi baseada no Método dos Elementos Finitos (MEF) e num modelo de dano constitutivo de Lemaitre que é próprio para materiais metálicos. Este modelo serve tanto para análise de dano isotrópico como para dano ortotrópico, além da análise sem danificação (apenas plastificação).

Neste estudo considerou-se um comportamento isotrópico do material, com encruamento isotrópico linear, critério de encruamento de von Mises e o modelo de dano de Lemaitre para dano isotrópico e ortotrópico.

Foram realizadas simulações que mostraram a influência de alguns parâmetros de dano na evolução do dano ortotrópico. Para isso, compararam-se os deslocamentos na direção axial da peça, ao ser atingido o dano crítico ou o deslocamento imposto. Com relação ao parâmetro η , observou-se que com o seu aumento, o deslocamento final diminui de forma moderada. Com relação ao parâmetro r , percebe-se que com o seu aumento, o deslocamento final aumenta de forma bastante significativa. E com relação ao limiar de dano ε_D , observa-se que, assim como no caso da variação de r , o deslocamento final aumentou com o aumento ε_D .

Alguns resultados obtidos com a simulação de dano ortotrópico foram comparados com os resultados da simulação de dano isotrópico. Observou-se que o dano crítico ocorre para valores de tensão equivalente de von Mises bem próximos nos casos isotrópico e ortotrópico, mas ocorrem com deformação plástica acumulada e deslocamento final inferiores no caso ortotrópico. Como esperado, verificou-se que o dano concentra-se na parte da peça onde há maior concentração de tensão. O dano ortotrópico em seu valor principal 1 estende-se numa região mais restrita que a região ocupada pelo mesmo valor de dano o isotrópico.

No caso deste trabalho, onde foi utilizado carregamento monotônico e radial, não se observa uma grande diferença entre os valores de dano isotrópico e ortotrópico na direção principal 1, já que as direções principais de deformação plástica permanecem constantes ao longo do carregamento e do dano. No entanto, em situações onde são aplicados dois ou mais carregamentos sequenciais com mudanças direcionais, cada carregamento causará o crescimento de micro-trincas em uma direção preferencial, afetando a resposta do material para carregamentos posteriores em direções diferentes. Nestes casos, a hipótese usual de isotropia pode fornecer resultados bem distintos dos obtidos pela análise ortotrópica. Sendo assim, a análise isotrópica de dano pode oferecer uma boa primeira aproximação, mas pode apresentar erros substanciais em aplicações práticas mais complexas.

REFERÊNCIAS

- Al-Rub, R. K. A.; Voyiadjis, G. Z., On the coupling of anisotropic damage and plasticity models for ductile materials. *Solids and Structures*, v. 40, p. 2611-2643, 2003.
- Armero, F.; Ollers, S., A general framework for continuum damage models. I. Infinitesimal plastic damage models in stress space. *International Journal of Solids and Structures*, v. 37, p. 7409-7436, 2000.
- Idelsohn, S., and Oñate, E., Finite element and finite volumes. Two good friends. *International Journal for Numerical Methods in Engineering*, 37:3323–3341, 1994.
- Chaboche, J. L., Continuous damage mechanics - A tool to describe phenomena before crack initiation. *Nuclear Engineering and Design*, v. 64, p. 233-247, 1981.
- Chen, W. F., Han, D.J., *Plasticity for structural engineers*. Springer-Verlag, New York, 1988.

- Desmorat, R., Cantournet, S. Modeling microdefects closure effect with isotropic/anisotropic damage. *Damage Mechanics*, v. 00, 2007.
- Doghri, I., Numerical implementation and analysis of a class on metal plasticity models coupled with ductile damage. *International Journal for Numerical Methods in Engineering*, v. 38, p. 3403-3431, 1995.
- Kattan, P.I., Voyiadjis, G.Z., *Damage mechanics with finite elements: practical applications with computer tools*. Springer-Verlag Berlin Heidelberg, New York, 2002.
- Ladevèze, P. *On an anisotropic damage theory*. In: Boehler J.P. (Ed.), Proc. CNRS Int. Coll. 351 Villars-de-Lans, Failure criteria of structured media, p.355-363, 1983.
- Lemaitre, J., Coupled elasto-plasticity and damage constitutive equations. *Computer Methods in Applied Mechanics and Engineering*, v. 51, p. 31-49, 1985.
- Lemaitre, J., *A course on damage mechanics*, 2. ed. Springer-Verlag Berlin Heidelberg, New York, 1996.
- Lemaitre, J., Desmorat, R., Sauzay, M., *Anisotropic damage law of evolution*. European J. Mechanics A/Solids, v. 19, p. 187-208, 2000.
- Lemaitre, J., Desmorat, R., *Isotropic and anisotropic damage law of evolution*. Handbook of materials behavior models, v. 2, p. 513-524, 2001. Academic Press, San Diego, 2001.
- Lemaitre, J.; Desmorat, R., *Engineering damage mechanics: ductile, creep, fatigue and brittle failures*. Springer-Verlag Berlin Heidelberg, New York, 2005.
- Simo, J. C., Hughes T. J. R., *Computational Inelasticity*. Springer-Verlag, New York, 1998.
- Simo, J. C., Taylor, R. L., Consistent tangent operators for rate-independent elastoplasticity. *Computer Methods in Applied Mechanics and Engineering*, v. 48, p. 101-118, 1985.
- Souza Neto, E. A., Peric, D., and Owen, D. R., *Computational Methods for Plasticity: Theory and Applications*, 1. ed. John Wiley & Sons, 2008.
- Meyer, E.S., Morrison, A.J., and Plummer, C.S., The finite element method: A good friend. *Journal of Numerical Methods*, 32:2223–2241, 1995a.
- Meyer, E.S., Morrison, A.J., and Plummer C.S., Finite differences and finite volumes. Two old friends. *Journal of Numerical Methods*, 32:1223–1241, 1995b.
- Torres, I. F. R., *Desenvolvimento e aplicação do método dos elementos finitos generalizados em análise tridimensional não-linear de sólidos*. Tese (Doutorado) - Escola de Engenharia de São Carlos, Universidade de São Paulo, São Carlos, 2003.
- Omerspahic, E., Mattiasson, K., Oriented damage in ductile sheets: Constitutive modeling and numerical integration. *International Journal of Damage Mechanics*, v. 16, p. 35-56, 2007.
- Voyiadjis, G.Z., Kattan, P.I., *Advances in damage mechanics: metals and metal matrix composites*. 1999.
- Zienkiewicz, O.C., and Taylor, R.L., *The finite element method*, volume II. McGraw Hill, 1991.